·论 著·

长链非编码 RNA SNHG1 对替莫唑胺诱导脑胶质瘤细胞血管生成能力的研究

毛丹丹 吕尧 揭园庆 戴伟民 黄强

[关键词] 长链非编码RNA SNHG1; 替莫唑胺; 脑胶质瘤; 血管生成能力

Effect of lncRNA SNHG1 on angiogenesis in glioma cells induced by temozolomide MAO Dandan, LYV Yao, JIE Yuanqing, et al.Department of Neurosurgery, Quzhou People's Hospital, Quzhou 324000, China.

[Abstract] Objective To explore the effect of SNHG1 on angiogenesis in glioma cells induced by temozolomide. Methods Human glioma cells U251 were divided into si-SNHG1 group (transfected with si-SNHG1NC), and blank control group. All three groups were treated with temozolomide. The expressions of SNHG1 in human glioma cells U251 and normal glioma cells was checked. CCK8 test was used to detect the proliferation ability of cells. Transwell was used to detect the abilities of migration and invasion of cells. Tubular formation was used to detect the tube formation ability of HUVEC cells, and the expression of VEGF was checked by ELISA. Results The expression of lncRNA SNHG1 in normal glial cells and tissues was obviously lower than that in glioma cells U251 and tissues (t=2.24, 2.46, P<0.05). The cell proliferation ability of the si-SNHG1 group at 48 h and 72 h was lower than that of the si-SNHG1NC group and the blank control group (t=17.29, 16.86, 8.20, 11.60, P<0.05). The cell migration and invasion ability of the si-SNHG1 group were lower than those of the blank control group and the si-SNHG1NC group. The tubule formation ability of the si-SNHG1 group was stronger than that of the si-SNHG1NC group and the blank control group. The VEGF level in si-SNHG1 group was higher than that in si-SNHG1NC group and blank control group (t=2.65, 5.01, P<0.05). Conclusion SNHG1 is up-regulated in glioma cells U251 and tissues. High expression of SNHG1 can inhibit cell proliferation and regulate angiogenesis of gliomas.

[Key words] lncRNA SNHG1; temozolomide; glioma; angiogenesis

DOI: 10.13558/j.cnki.issn1672-3686.2021.006.004 基金项目: 衢州市科学计划项目(20172040) 作者单位: 324000 浙江衢州, 衢州市人民医院神经 外科 胶质母细胞瘤的致死性极高,严重影响人们的日常生活,其病死率已经占到胶质瘤的50%以上^[1]。替莫唑胺可以通过干预机体内DNA的复制等方式来促使疾病相关细胞凋亡^[2,3]。临床上使用

替莫唑胺治疗可以实现抑制肿瘤细胞增殖的作用,从而提高肿瘤疾病患者的生存时间。临床上替莫唑胺耐药性的发生会大大降低其治疗效果[4.5]。长链非编码 RNA (long non-coding RNA, lncRNA) SN-HG1作为一个致癌基因,可以促进结直肠癌细胞的增殖和侵袭,并且抑制其细胞凋亡[6]。虽然目前对于 lncRNA 在癌细胞增殖方面的机制很多,但关于 SNHG1 在替莫唑胺诱导脑胶质瘤细胞方面的机制研究还鲜有报道。本研究主要探讨 SNHG1 对替莫唑胺诱导脑胶质瘤细胞血管生成能力的影响。

1 材料与方法

1.1 材料 脑胶质瘤细胞 U251、正常脑胶质细胞(由上海复祥生物科技有限公司生产)、胎牛血清(由上海碧云天公司生产)、DMEM 培养基(由美国 HyClone 生产)、转染试剂 Li-pofectamine™ 2000(由美国 Invitrogen 生产)、逆转录试剂盒(由北京杰辉博高生物技术有限公司生产)、胎牛血清(由美国 Gibco 公司生产)、SNHG1 siRNA 及其阴性对照(由广州复能基因有限公司生产)等。

1.2 方法

1.2.1 细胞培养及处理 替莫唑胺的浓度调配为 1 000 μmol /L 的母液。脑胶质瘤细胞 U251在37℃、5% CO₂的培养箱中用 DMEM 高糖培养基(含 10% 胎牛血清)培养,当细胞生长到融合度 80% 后,用替莫唑胺干预 U251细胞 24 h,进行相关的检测,脑胶质瘤细胞经替莫唑胺诱导成功后用于后续实验。

1.2.2 细胞转染 将实验培养的人的脑胶质 瘤细胞 U251 分为:空白对照组、si-SNHG1 组(转 染si-SNHG1)、si-SNHG1NC组(转染si-SNHG1-NC)。 取对数生长期的细胞接种在6孔板中,细胞增长至 约70%融合时行转染,磷酸缓冲盐溶液洗涤2次之 后每孔加入1 ml的 DMEM 高糖培养基(含20% 胎牛血 清)。用去离子水溶解siRNA至20 μmol/L,将siRNA 与500 μl 无血清 DMEM 混匀后静置, 此为 A 管, 将 转染试剂 Li-pofectamine™ 2000 与无血清 DMEM 混匀后静置,此为B管,然后将A、B管混匀静置 20 min 后加入各孔中,培养 4~6 h 后更换培养基, 继续培养24~28 h。使用实时荧光定量PCR技术 (real-time polymerase chain reaction, RT-PCR)检测 转染效率,细胞转染率达到50%即可用于后续实验。 1.2.3 RT-PCR 检测 SNHG1 的表达情况 取适量 对数生长期的各组细胞,提取细胞及组织中的总 RNA, 定量后据逆转录试剂盒说明书合成 cDNA, 再依 RT-PCR 试剂盒操作完成 SNHG1 的检测,将 GAPDH 作为 SNHG1 的内参,通过 $2^{-\Delta\Delta ct}$ 公式计算其表达情况。引物序列见表 1。

表1 引物序列

基因名称	引物序列	
SNHG1	上游	5'-AGGCTGAAGTTACAGGTC-3'
	下游	5'-TTGGCAATCCCAGTGTCTTA-3'
GAPDH	上游	5'-GTCAACGGATTTGGTCTGTATT -3'
	下游	5'-AGTCTTACTGGGTGGCAGTGAT-3'

1.2.4 CCK-8 实验检测细胞的增殖能力 将细胞接种至96 孔板,每孔的密度为 1.0×10^3 个细胞。于细胞转染后的 $0 \text{ h} \times 24 \text{ h} \times 48 \text{ h} \times 72 \text{ h}$ 时加入 10 µl 的 CCK-8 试剂,2 h 后在酶标仪上测吸光度 (optical density, OD)450 值。

1.2.5 Transwell实验检测细胞的迁移侵袭能力 收集培养 SNHG1的细胞,置于无血清培养基制成细胞 悬液,接种至 Transwell 小室上层,等风干后加入500 μl 0.1%结晶紫染色,于显微镜下拍照并计算迁移的细胞数量。细胞的侵袭实验需要在 Transwell 小室上层加入50 μl 2.0 mg/ml基质胶 Matrigel,等其凝固后接种 SNHG1 的细胞,之后的操作同细胞迁移。

1.2.6 小管形成实验 取 6 代内人脐静脉内皮细胞,培养基与培养条件同 1.2.1 下细胞培养。细胞培养基取干扰 SNHG1 表达的脑胶质瘤的培养上清,1 500 r/min 离心 10 min,1:1与 DMEM 混匀。铺胶在冰盒上进行,1:1和 DMEM 培养基稀释,混匀后,每孔 80 μl加入 24 孔板,37 ℃细胞孵箱放 1 h后,每孔铺 2×10⁴个细胞,加入预配的培养基,后放入孵箱中继续培养。细胞成管后在显微镜下观察并拍照。

1.2.7 酶联免疫法检测血管内皮生长因子(vascular endothelial growth factor, VEGF) 选取经转染的后脑胶质瘤细胞的细胞培养上清液,37 ℃放置90 min;每个孔中加入100 μ l 生物素化的抗体工作液,于37 ℃下放置1 h;每个孔中加入100 μ l 酶结合工作液,37 ℃放置30 min;每个孔中加入90 μ l TMB底物溶液,37 ℃下避光放置15 min左右;然后每个孔中加50 μ l终止液;测量各孔的OD值。建立标准曲线,然后进行计算。

1.3 统计学方法 采用 SPSS 24.0 行统计分析,计量资料用均数±标准差($\bar{x}\pm s$)来表示,用t检验。设P<0.05为差异有统计学意义。

2 结果

2.1 各组中SNHG1的表达 人脑胶质瘤细胞 U251 中 SNHG1的表达为 0.06 ± 0.05 ,明显高于正常脑胶质细胞中 SNHG1的表达(0.01 ± 0.01),差异有统计学意义(t=2.24,P<0.05);脑胶质瘤组织中 LINC00337的表达为 0.06 ± 0.06 ,明显高于正常脑胶质组织中 LINC00337的表达(0.01 ± 0.01),差异有统计学意义(t=2.46,P<0.05)。

2.2 各组脑胶质瘤细胞的增殖能力比较见图1

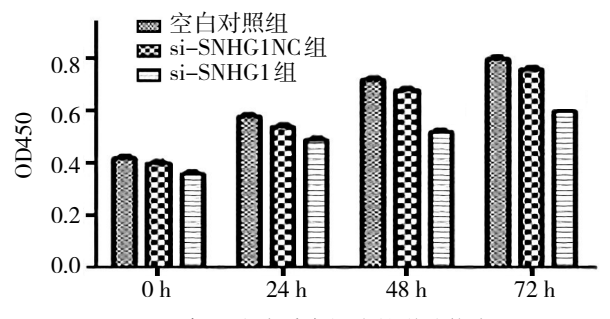


图1 各组脑胶质瘤细胞的增殖能力

由图 1 可见, si-SNHG1 组在 48 h 和 72 h 时细胞的增殖能力明显低于 si-SNHG1NC组和空白对照组(t分别=17.29、16.86;8.20、11.60,P均<0.05)。

2.3 各组脑胶质瘤细胞的迁移和侵袭比较见封二 图 1~2

由封二图 1~2 可见,si-SNHG1 组的迁移和侵袭能力较空白对照组和 si-SNHG1NC 组明显下降。

2.4 各组的小管形成能力比较见封二图 3

由封二图 3 可见, si-SNHG1 组的小管形成能力明显高于 si-SNHG1NC 组和空白对照组。

2.5 各组中 VEGF 的表达见表 2

表2 各组中VEGF的表达/pg/ml

组别	VEGF
si-SNHG1 组	1.86 ± 0.43**
si-SNHG1NC组	1.25 ± 0.37
空白对照组	0.92 ± 0.18

注:*:与si-SNHG1NC组比较,P<0.05;*:与空白对照组比较,P<0.05。

由表2可见, VEGF在si-SNHG1 组中的表达明显高于si-SNHG1NC组和空白对照组(t分别=2.65、5.01,P均<0.05)。

3 讨论

临床上对于脑胶质瘤的主要治疗方法仍然以 手术为主,放化疗为辅的综合治疗方案。至目前为

止, 替莫唑胺在神经外科临床上已被用作主要辅助 药物对患者进行治疗。相关研究表明,在许多的生 物过程中 lncRNA 发挥着至关重要的作用[7], lncRNA 虽然是一种非编码 RNA,但能够以 RNA 的形式通过 不同的层面在机体中参与调控多种生物学功能,它 能够在表观遗传学、通过对转录水平的调控调节蛋 白质的编码基因,参与干细胞多功能,体细胞重编 程的调控等[8,9],例如IncRNA都可以通过参与mRNA 剪接、基因组印记和核质转运等生物机制从而来实 现对细胞的分化和细胞周期的调控作用[10,11]。机体 内生物学信号的改变可以对 IncRNA 的水平产生一 定影响[12]。Lan等[13]研究发现在甲状腺乳头状癌中, lncRNA的表达呈现异常,其中某些 lncRNA可以对 甲状腺乳头状癌细胞的生物学功能进行调控。 Wang等[14]研究发现高表达的SNHG1与肾癌的不良 预后具有一定的相关性。研究发现在肺癌和结肠 癌组织中SNHG1呈异常表达,下调SNHG1可以对 肺癌细胞及结肠癌细胞的增殖起到抑制作用[15,16]。 研究显示在喉鳞状细胞癌中敲除 SNHG1 可抑制喉 癌细胞的迁移侵袭和上皮间质转化[17]。在胃癌[18]、 食管癌[19]以及肝癌[20]中SNHG1均呈现出异常表达, SNHG1的水平变化在多种疾病的发生发展中具有 重大意义。

本次研究选用人的脑胶质瘤细胞 U251、正常 脑胶质细胞来探索 SNHG1 对替莫唑胺诱导脑胶质 瘤细胞血管生成能力的影响,结果发现,与正常脑 胶质细胞及组织比较,人的脑胶质瘤细胞 U251 及 组织中 SNHG1 的表达量明显升高(P < 0.05)。 si-SNHG1 组在48 h和72 h时细胞的增殖能力明显 低于si-SNHG1NC组和空白对照组(P<0.05),说明 高表达的SNHG1对脑胶质瘤细胞增殖具有明显影 响,起到抑制细胞的效果。本次研究对各组脑胶质 瘤细胞的迁移和侵袭情况发现,si-SNHG1 组细胞 的迁移和侵袭能力较空白对照组和si-SNHG1NC组 明显下降(P<0.05)。si-SNHG1 组的小管形成能力 明显高于si-SNHG1NC组和空白对照组(P<0.05), 说明 SNHG1 的表达对脑胶质瘤的血管生成能力方 面有着一定的影响。同时本次研究发现VEGF在 si-SNHG1 组中的表达明显高于si-SNHG1NC组和 空白对照组(P<0.05)。以上结果均提示着SNHG1 水平变化在脑胶质瘤中具重大作用,SNHG1可能可 以通过调控 VEGF 的表达,进而来对脑胶质瘤的血 管生成能力产生影响,临床上把过表达的SNHG1来 作为治疗脑胶质瘤的新型生物标志物,同时在脑胶质瘤的基因治疗中也可以将其作为潜在的生物靶标来应用。目前看来,本次研究的样本量太少,规模不大,有必要在更大样本的条件下去验证已有的实验结果,更深层次地探讨细胞间的相互作用以及SNHG1参与的分子机制。

综上所述,上调SNHG1的表达可以促使替莫唑 胺诱导脑胶质瘤细胞迁移、侵袭以及增殖能力下 降,从而调控脑胶质瘤的血管生成能力。本研究为 脑胶质瘤的临床治疗可提供新的方向和思路,但对 于其是否可广泛应用于脑胶质瘤的临床诊断和作 为治疗干预靶点,仍然需要大规模样本、多中心的 临床研究来进行验证,促使其以后可能成为脑胶质 瘤治疗的另一突破口。

参考文献

- 1 吕英琪,陈曜星,卫晨萱,等.胶质母细胞瘤的免疫治疗研究进展III.药学学报,2019,54(10):1792-1801.
- 2 Yongzhi W, Xuzhu C, Zhong Z, et al. Comparison of the clinical efficacy of temozolomide (TMZ) versus nimustine (ACNU) – based chemotherapy in newly diagnosed glioblastoma[J]. Neurosurg Rev, 2014, 37(1):73–78.
- 3 陈芸,左频,罗林,等.脑胶质瘤 MGMT表达与血清和脑脊液 MGMT基因启动子甲基化的相关性[J].临床与实验病理学杂志,2018,34(12):1344-1347.
- 4 汤兆奇,王克生,徐宏彬.没药甾酮下调PI3K/Akt通路增强替莫唑胺抗脑胶质瘤细胞增殖作用[J].中国药理学通报,2019,35(8):1098-1103.
- 5 胡大玲,张寅.FoxO3在复发胶质母细胞瘤中的表达及其对替莫唑胺耐药性的影响[J].南京医科大学学报(自然科学版),2017,37(11):1389-1394.
- 6 Sun X, Wang Z, Yuan W. Down-regulated long non-coding RNA SNHG1 inhibits tumor genesis of colorectal carcinoma[J]. Cancer Biomark, 2017, 20(1);67-73.
- 7 He Y, Wu Z, Qiu C, et al. Long non-coding RNA GAPLINC promotes angiogenesis by regulating miR-211 under hypoxia in human umbilical vein endothelial cells [J]. J Cell Mol Med, 2019, 23(12): 8090-8100.
- 8 Jing Z, Gao L, Wang H, et al. Long non-coding RNA GAS5 regulates human B lymphocytic leukaemia tumourigenesis and metastasis by sponging miR-222[J]. Cancer Biomark, 2019, 26(3):385-392.
- 9 Dong C, Min T, Yuepeng S, et al. Indole-3-acetic acid

- has long-term effects on long non-coding RNA gene methylation and growth in populus tomentosa[J].Mol Genet Genomics, 2019, 294(6):1511-1525.
- 10 Zhao HY, Zhang ST, Cheng X, et al. Long non-coding RNA GAS5 promotes PC12 cells differentiation into Tuj1-positive neuron-like cells and induces cell cycle arrest[J]. Neural Regen Res, 2019, 14(12):2118-2125.
- 11 Yang Y, Yang W, Jin L. The role of long non-coding RNA prostate cancer—associated transcript 1 in prostate cancer[J]. J Comput Biol, 2019, 26(9):975–984.
- 12 胡倩,姚和瑞.长链非编码 RNA 与肿瘤研究现状[J]. 中华肿瘤防治杂志,2014,21(21):1746-1750.
- 13 Lan X, Zhang H, Wang Z, et al. Genome-wide analysis of longnoncoding RNA expression profile in papillary thyroid carcinoma[J]. Gene, 2015, 569(1): 109-117.
- 14 Wang H, Lu B, Chen J. Knockdown of lncRNA SNHG1 attenuated Aβ25–35-inudced neuronal injury via regulating KREMEN1 by acting as a ceRNA of miR-137 in neuronal cells[J]. Biochem Biophys Res Commun, 2019, 518(3):438–444.
- 15 汤锐明,邱惠思,黄岩,等.长链非编码RNA SNHG1促进 肺癌细胞增殖[J].中国生物化学与分子生物学报,2017,33(12):1274-1279.
- 16 Lin SX, Jiang H, Xiang GZ, et al. Up-regulation of long noncoding RNA SNHG1 contributes to proliferation and metastasis in laryngeal squamous cell carcinoma[J]. Eur Rev Med Pharmacol Sci, 2018, 22(5):1333-1341.
- 17 Gao L, Cao H, Cheng X.A positive feedback regulation between long noncoding RNA SNHG1 and YAP1 modulates growth and metastasis in laryngeal squamous cell carcinoma[J].Am J Cancer Res, 2018, 8(9):1712-1724.
- 18 Hu Y, Ma Z, He Y, et al.lncRNA-SNHG1 contributes to gastric cancer cell proliferation by regulating DNMT1[J]. Biochem Biophys Res Commun, 2017, 491(4):926-931.
- 19 Yan Y, Fan Q, Wang L, et al.lncRNA SNHG1, a non-degradable sponge for miR-338, promotes expression of proto-oncogene CST3 in primary esophageal cancer cells [J].Oncotarget, 2017, 8(22): 35750-35760.
- 20 Zhang H,Zhou D,Ying M, et al.Expression of long non-coding RNA (lncRNA) small nucleolar RNA host gene 1 (SNHG1) exacerbates hepatocellular carcinoma through suppressing miR-195[J]. Med Sci Monit, 2016, 22: 4820-4829.

(收稿日期 2019-12-09) (本文编辑 蔡华波)